

Equations Différentielles Ordinaires

Partie 1 : Introduction et Exemples

MACS 1

January 10, 2017

- ▶ Introduction et exemples
- ▶ Equations linéaires d'ordre 1 et 2
- ▶ Théorème de Cauchy-Lipschitz
- ▶ Quelques équations qu'on sait résoudre à la main
- ▶ Systèmes linéaires
- ▶ Stabilités des points stationnaires
- ▶ Calcul de solutions approchées

Equations Différentielles Ordinaires

- ▶ Equations algébriques

$$f(x) = 0$$

- ▶ Systèmes linéaires

$$A\mathbf{x} = \mathbf{b}$$

- ▶ Equations Différentielles Ordinaires (EDO)

$$F(x, f(x), f'(x), \dots, f^{(n)}(x)) = 0$$

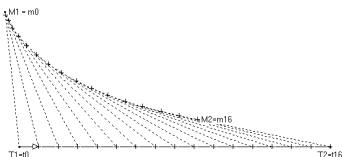
- ▶ Systèmes linéaires d'EDO

$$\mathbf{f}'(t) = A(t)\mathbf{f}(t) + \mathbf{b}(t)$$

- ▶ Equations aux Dérivées Partielles (EDP)

$$\Delta f(\mathbf{x}) := \sum_j \frac{\partial^2 f}{\partial x_j^2} = g(\mathbf{x})$$

La première équation différentielle ?



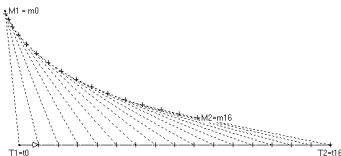
► Problème de la tractrice (1670)

$$x'(t) = a \frac{1 - \cos^2(t)}{\cos(t)}, \quad y(t) = a \cos(t)$$

où

- $(x(t), y(t))$ la position de l'objet
- a la longueur de la chaîne

La première équation différentielle ?

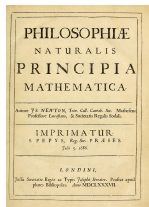


► Problème de la tractrice (1670)

$$y'(x) = \pm \frac{y(x)}{\sqrt{a^2 - y(x)^2}}$$

où

- $(x(t), y(t))$ la position de l'objet
- a la longueur de la chaîne

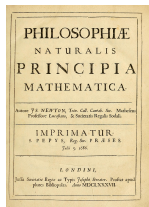


► Seconde loi de Newton (1687)

$$m \mathbf{x}''(t) = F(t, \mathbf{x}(t), \mathbf{x}'(t))$$

où

- \mathbf{x} la position (du centre de gravité) de l'objet
- m la masse de l'objet
- F les forces extérieures

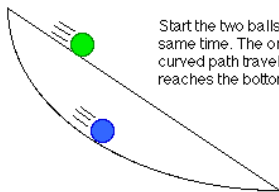


▶ Seconde loi de Newton (1687)

$$\mathbf{x}'(t) = \mathbf{v}(t)$$
$$m \mathbf{v}'(t) = F(t, \mathbf{x}(t), \mathbf{v}(t))$$

où

- ▶ \mathbf{x} la position (du centre de gravité) de l'objet
- ▶ \mathbf{v} la vitesse (du centre de gravité) de l'objet
- ▶ m la masse de l'objet
- ▶ F les forces extérieures



Start the two balls at the top at the same time. The one rolling along the curved path travels further, but reaches the bottom first.

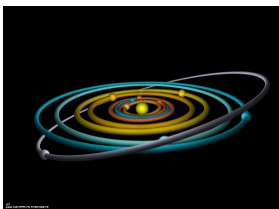


► Courbe brachistochrone (1696)

$$(1 + y'(x)^2)y(x) = y(0)$$

où

- $y(x)$ graphe du "toboggan"



- ▶ Problèmes à N corps (1687, 1888, 1909)

$$m_j \mathbf{x}_j''(t) = -G \sum_{k \neq j} \frac{m_j m_k (\mathbf{x}_j(t) - \mathbf{x}_k(t))}{\|\mathbf{x}_j(t) - \mathbf{x}_k(t)\|^3}$$

où

- ▶ \mathbf{x}_j la position (du centre de gravité) des N corps
- ▶ m_j la masse des N corps
- ▶ G la constante de gravitation universelle

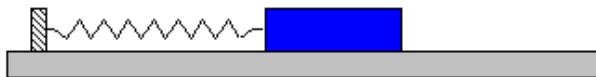


► Cas simple

$$mx''(t) + k(x(t) - x_0) = 0$$

où

- x la position (du centre de gravité) de l'objet
- m la masse de l'objet
- k la raideur du ressort



- ▶ Avec frottement "fluide"

$$m x''(t) + \alpha x'(t) + k(x(t) - x_0) = 0$$

où

- ▶ x la position (du centre de gravité) de l'objet
- ▶ m la masse de l'objet
- ▶ k la raideur du ressort
- ▶ α coefficient de friction



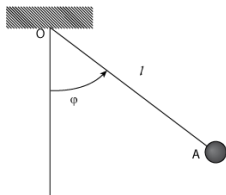
► Oscillations entretenues

$$m x''(t) + \alpha x'(t) + k(x(t) - x_0) = f(t)$$

où

- x la position (du centre de gravité) de l'objet
- m la masse de l'objet
- k la raideur du ressort
- α coefficient de friction
- f force extérieure

Oscillations d'un pendule



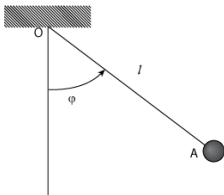
► Oscillations d'un pendule simple

$$\theta''(t) + \frac{g}{l} \sin(\theta(t)) = 0$$

où

- θ l'angle du pendule avec la verticale
- l la longueur du fil
- g la constante de pesanteur

Oscillations d'un pendule



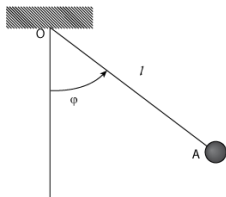
▶ Petites oscillations (cas linéaire)

$$\theta''(t) + \frac{g}{l}\theta(t) = 0$$

où

- ▶ θ l'angle du pendule avec la verticale
- ▶ l la longueur du fil
- ▶ g la constante de pesanteur

Oscillations d'un pendule

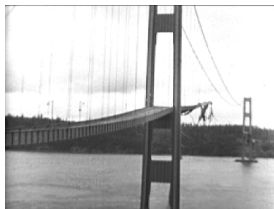
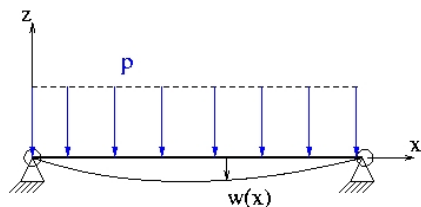


► Pendules couplés (cas linéaire)

$$\theta_j''(t) + \frac{g}{l} \theta_j(t) + \frac{kd^2}{ml^2} (\theta_j(t) - \theta_k(t)) = 0, \quad j = \{1, 2\}, \quad k \neq j$$

où

- θ l'angle du pendule avec la verticale
- l la longueur du fil
- g la constante de pesanteur

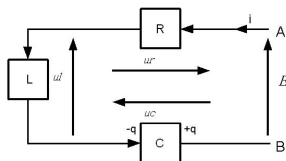


► Vibrations propres (petites déformations)

$$EI z^{(4)}(x) - \rho S \omega^2 z(x) = 0, \quad z(t, x) = Z(x) e^{i\omega t}$$

où

- z le déplacement de la poutre
- E le module d'Young de la poutre, ρ sa masse volumique
- I le moment quadratique de la poutre de section S
- ω la fréquence de vibration

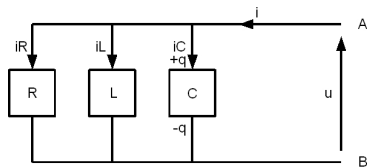


► En série

$$LC u_c''(t) + RC u_c'(t) + u_c(t) = E(t)$$

où

- u_c la tension aux bornes du condensateur
- E la tension aux bornes du générateur
- R la résistance du circuit
- L l'inductance de la bobine
- C la capacité du condensateur

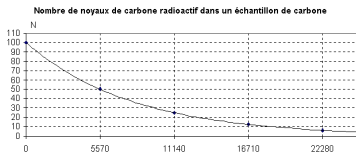


- ▶ En parallèle

$$LRC u''(t) + L u'(t) + R u(t) = LRi'(t)$$

où

- ▶ u la tension aux bornes du circuit
- ▶ i intensité du courant dans le circuit
- ▶ R la résistance du circuit
- ▶ L l'inductance de la bobine
- ▶ C la capacité du condensateur

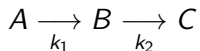


► Datation au Carbone 14

$$c'(t) = -\frac{\ln(2)}{\tau} c(t)$$

où

- c la concentration en carbone 14
- τ la demi-vie du carbone 14



► Réactions mono-moléculaires successives

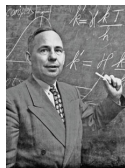
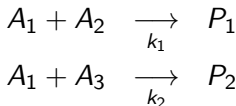
$$A'(t) = -k_1 A(t)$$

$$B'(t) = k_1 A(t) - k_2 B(t)$$

$$C'(t) = k_2 B(t)$$

où

- A , B et C concentration des espèces
- k_j vitesse de réaction



► Réactions bi-moléculaires simultanées

$$A_1'(t) = -k_1 A_1(t) A_2(t) - k_2 A_1(t) A_3(t)$$

$$A_2'(t) = -k_1 A_1(t) A_2(t)$$

$$A_3'(t) = -k_2 A_1(t) A_3(t)$$

où

- A_j concentration des espèces réactantes
- P_j concentration des espèces produits
- k_j vitesse de réaction



► **Modèle de Malthus (1798)**

$$N'(t) = (b(t) - d(t))N(t)$$

où

- N population de l'espèce
- b taux de naissance
- d taux de mort



► Modèle de Verhulst (1836)

$$N'(t) = r(t)N(t) \left(1 - \frac{N(t)}{K(t)}\right)$$

où

- N population de l'espèce
- r taux de naissance
- K capacité maximale du milieu

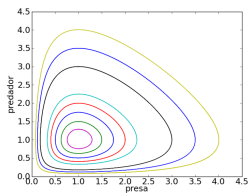
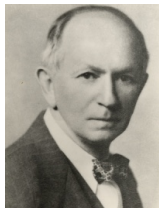


► **Modèle de Ludwig-Jones et Holling (1978)**

$$N'(t) = r(t)N(t) \left(1 - \frac{N(t)}{K(t)}\right) - p(N(t))$$

où

- N population de l'espèce
- r taux de naissance
- K capacité maximale du milieu
- p prédation par un acteur externe



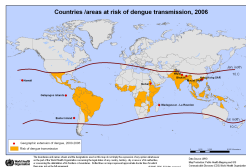
► Modèle de Lotka-Volterra (1925-1926)

$$N_1'(t) = N_1(t) (\alpha_1 - \beta_1 N_2(t))$$

$$N_2'(t) = N_2(t) (\alpha_2 N_1(t) - \beta_2)$$

où

- N_1 population des proies
- N_2 population des prédateurs
- α_j taux de croissance
- β_j taux de perte



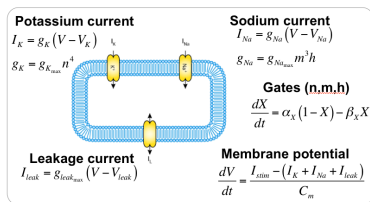
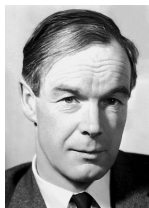
► Modèle de Ross pour la malaria (1902)

$$N'_h(t) = m\alpha\beta_h N_m(1 - N_h) - \gamma_h N_h$$

$$N'_m(t) = \alpha\beta_m N_h(1 - N_m) - \gamma_m N_m$$

où

- N_h proportion d'humains infectés
- N_m proportion de moustiques infectés
- α probabilité de rencontre
- β_j taux d'infection
- γ_j taux de guérison et/ou de mort



► Modèle de Hodgkin-Huxley (1952 – 1963)

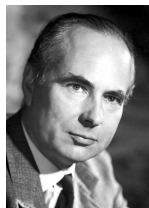
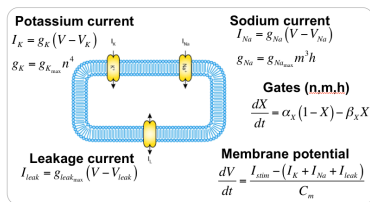
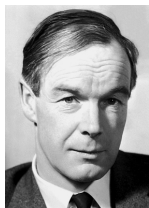
$$C_m V'(t) = I - (I_K + I_{Na} + I_l)$$

$$I_K = g_K n(t)^4 (V(t) - V_K)$$

$$I_{Na} = g_{Na} m(t)^3 h(t) (V(t) - V_{Na})$$

$$I_l = g_l (V(t) - V_l)$$

$$X'(t) = \alpha_X(V(t))(1 - X(t)) - \beta_X(V(t))X(t), \quad X = n, m, h$$



► Modèle de Hodgkin-Huxley (1952 – 1963)

$$C_m V'(t) = I - (I_K + I_{Na} + I_l)$$

$$I_K = g_K n(t)^4 (V(t) - V_K)$$

$$I_{Na} = g_{Na} m(t)^3 h(t) (V(t) - V_{Na})$$

$$I_l = g_l (V(t) - V_l)$$

$$X'(t) = \alpha_X(V(t))(1 - X(t)) - \beta_X(V(t))X(t), \quad X = n, m, h$$



► Modèle de Walras (1874)

$$P'(t) = k(D(P(t)) - O(P(t)))$$

$$D(P) = \alpha - \beta P$$

$$O(P) = \gamma + \delta P$$

où

- P prix d'une marchandise
- D demande
- O offre



► Modèle de Keynes (1936)

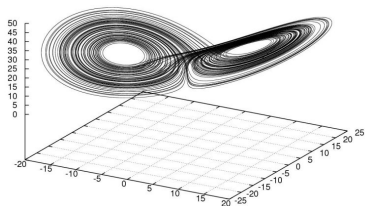
$$R'(t) = k(C(t) + I(t) + G - R(t))$$

$$C(t) = \alpha R(t) - R'(t)$$

$$I(t) = \beta C'(t)$$

où

- R est le revenu disponible
- C consommation
- I investissement
- G dépenses gouvernementales



► Modèle de Lorenz (1963)

$$x'(t) = \sigma(y(t) - x(t))$$

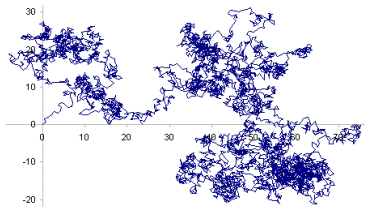
$$y'(t) = \rho x(t) - y(t) - x(t)z(t)$$

$$z'(t) = x(t)y(t) - \beta z(t)$$

où

- $x(t)$ intensité du mouvement de convection
- $y(t)$ différence de température entre courants de sens contraire
- $z(t)$ profil vertical de température

Equations Différentielles Stochastiques (Mvt Brownien)



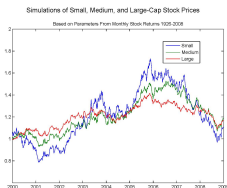
► Equation de Langevin (1908)

$$m dv(t) = -k v(t)dt + \sigma(v(t))dW(t)$$

où

- $v(t)$ vitesse de la particule
- m masse de la particule
- k coefficient de friction
- W processus de Wiener
- σ amplitude des variations

Equations Différentielles Stochastiques (Finances)



► Equation de Black Scholes (1973)

$$dS(t) = \mu S(t)dt + \sigma S(t)dW(t)$$

où

- $S(t)$ prix de l'actif sous-jacent
- μ taux d'intérêt sans risque
- W processus de Wiener
- σ volatilité de l'actif

- ▶ **Biologie :**
The Evans function for the nerve influx,
O. Lafitte, SMAI, 2008.
- ▶ **Dynamique des Populations :**
Reduction to a single closed equation for 2 by 2
reaction-diffusion systems of Lotka-Volterra type,
M. Strugarek & N. Vauchelet, submitted, 2016.
- ▶ **Cinétique Chimie :**
Modélisation et simulation d'un procédé industriel
d'extraction liquide-liquide
P. Omnes
- ▶ **EDS & Finance :**
A. Kebaier, M. Ben Alaya